

Teljes tart. oldható L-ben (kont. oldhatóság) S-ban  
 Az  $\epsilon$  parameter növelésével változik a  
 hirudogram:

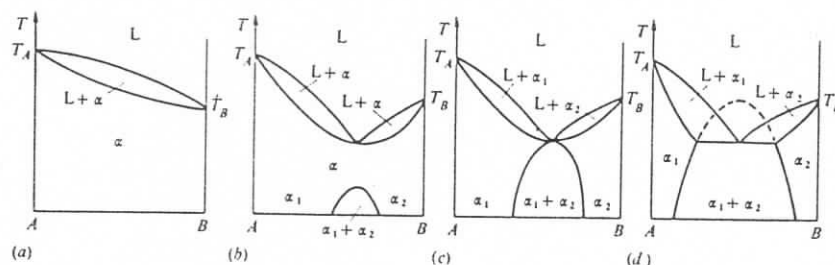


Fig. 5.12. Changes in the phase diagram from (a) to (d) with increasing  $\epsilon$ , i.e. increasing energy of mixing  $E^M > 0$ .

$$\epsilon \text{ (és } E^M\text{)} \text{ nő} \rightarrow$$

Magas T-ken  $F^S(v_B)$ -nak csök., okozva  
 T-ken 2. minimumot.

b: oldhatóság: határ S-ban

c) kongruens megnövekedő oldatok

d) eutektikus rendszer

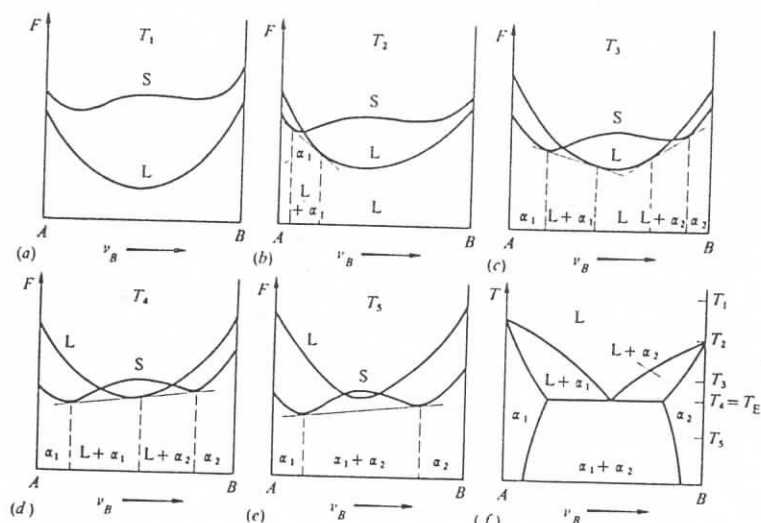


Fig. 5.13. Derivation of a phase diagram with eutectic from the free energy for S and L, dependent on the temperature.

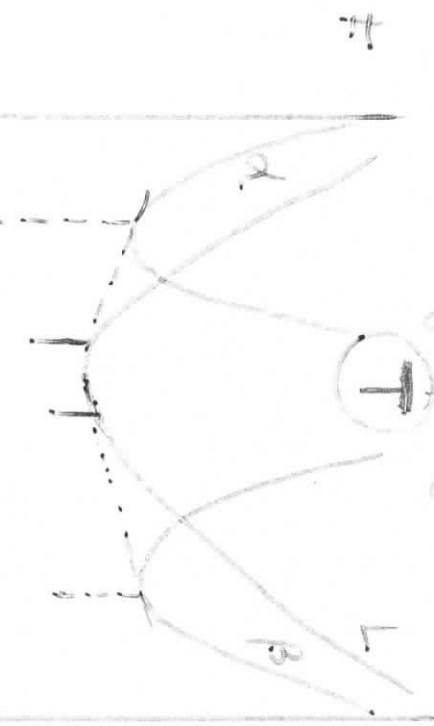
$T_4$ : SL görbék közötti  
 érintője a két oldalon  
 egységes.

Másiképp:  $F^L$  görbe mi-  
 nimuma átmetszi az  
 $F^S(v)$  görbe két oldala  
 közé húzott horizontális érintőt.

$T_4$ : eutektikus homársélelet,  $T_E$

Wärmeleitung & färbildungen, Nr. 2 (eltern) mit dem  
markenget. förbättrad. Reaktionstypen der dross. ohne

$F_2^S(w)$  försökt:

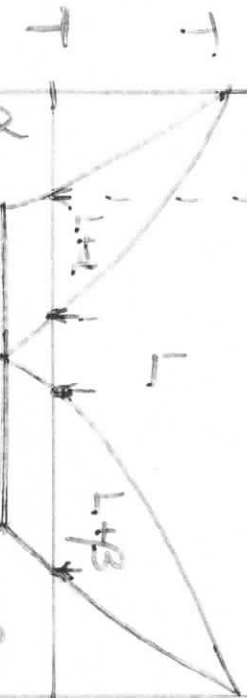


A

$\downarrow t$

B

T

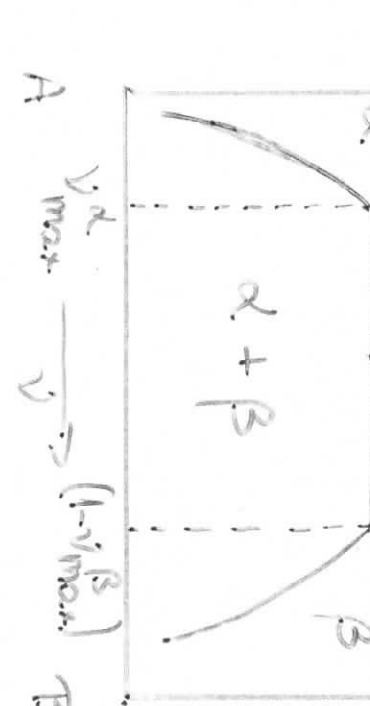


A

$\downarrow t$

B

T



A

$\downarrow t$

B

T

$T_E$ : a kugelförmig  
ochindruck.

schwärz.

$v_{\max}^d$ : maximale old-  
habssch. rörlnd.

allotypisk  $\rightarrow T_E^{min}$ .

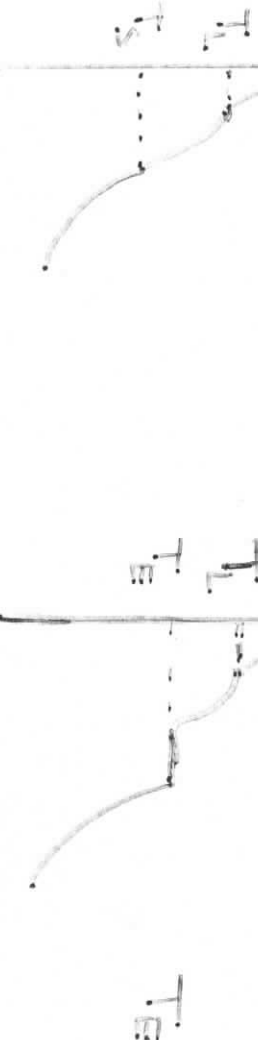
$v_e$ : eutektisk. örsutslit.

schwarz försökt:

$T_A \leq v_{\max}$

$T_A < v_{\max}$

$v = v_e$



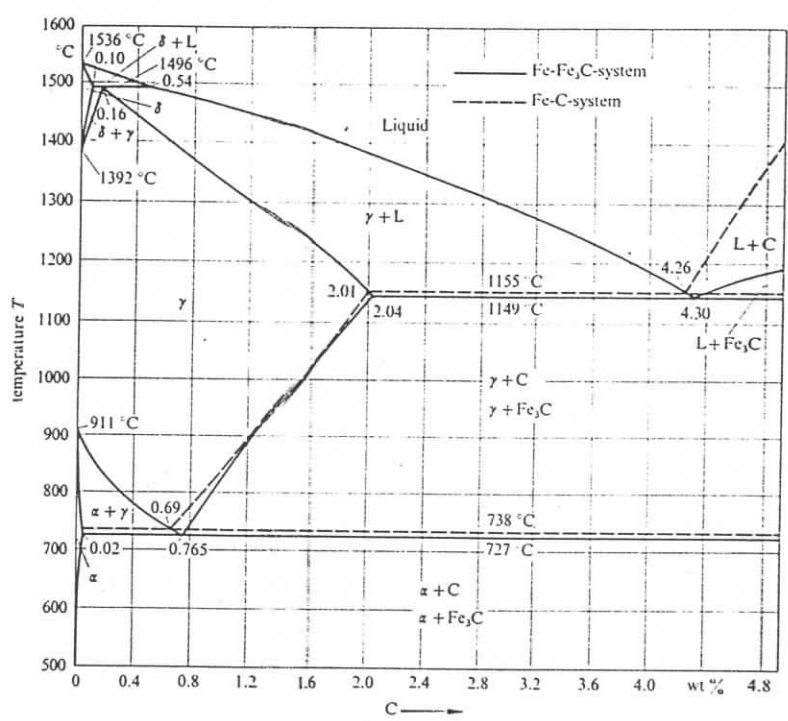


Fig. 6.4. Iron-carbon phase diagram (dotted lines graphite, full lines in equilibrium with  $\text{Fe}_3\text{C}$ ) [5.8].

Hőmérésleleten:  $L \rightarrow L + \alpha_1 \rightsquigarrow p = 3$

$$\text{Létrehozás: } f = L + k - p = 1$$

(Ugyan, mint a török ag. fajánca:  $f = 2+1-2=1$ )

Megjegyzés: Az előző oldal  $F(v)$  ábráján lehet mindenkoron fölre nélkül fáradság:  $\gamma \rightarrow \gamma + \beta$ , eutektoidos átalakulás (szilárd  $\rightarrow$  szilárd).]

de a két alkotó o.p.-ja erősen eltérő, azaz ha az L min. nem a S két min. között van a közs érintős hőmérésleleten:

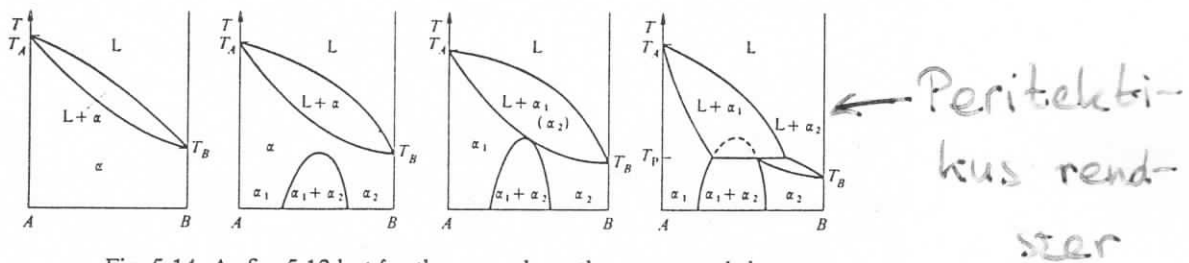


Fig. 5.14. As fig. 5.12 but for the case where the pure metals have widely differing melting points.

$\epsilon, E^M (> 0) \rightarrow \text{nö}$

$T_p-n$ :  $F^S(v)$  görbe  $\alpha_2$ -höz tartozó minimuma átmetszi az  $F_L^S$  és  $F^L$  közötti közs érinték.  
v összetételei rendje:

$T_1$ -nél  $L \rightarrow L + \alpha_1$

$T_p$ -nél  $L + \alpha_1 \rightarrow \alpha_1 + \alpha_2$

$\alpha_2$  körülben: az  $\alpha_2$  kristálypont megnövekedése az érintkezés  $v, \epsilon = 1$  esetén:  $L \rightarrow L + \alpha_1 + \alpha_2$  működik.

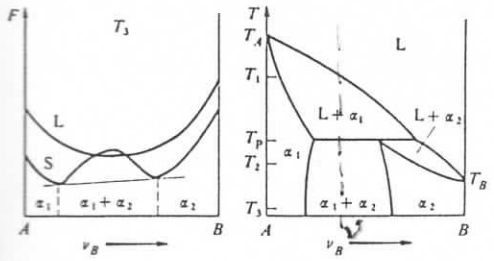
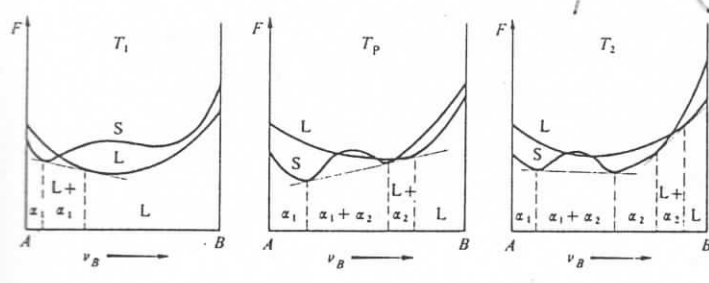


Fig. 5.15. Derivation of a phase diagram with peritectic from  $F^L(v_B, T), F^S(v_B, T)$ .

### 3. Telje konz. tart.-ban oldódó L.-ban, vegyület:

lás S-ban

S-ban:  $\epsilon < 0$ ,  $E^M < 0$

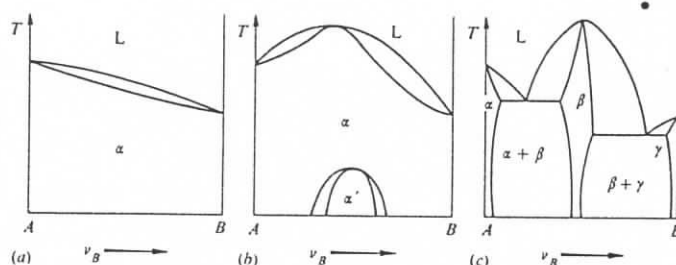


Fig. 5.16. Changes in the phase diagram from (a) to (c) with increasingly negative  $\epsilon$  or  $E^M$ .  $\beta$  is the intermetallic compound  $A_xB_y$ .

$\epsilon, E^M \rightarrow$  csökken  
Különbség elszármazdolt keverések:  $A_xB_y$  vegyület, intermetallikus vegyület.

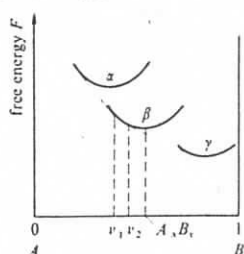


Fig. 5.17. Free energies of three phases  $\alpha$ ,  $\beta$ ,  $\gamma$ . The compound is stable between  $v_1$  and  $v_2$  but not at its stoichiometric composition  $A_xB_y$ .

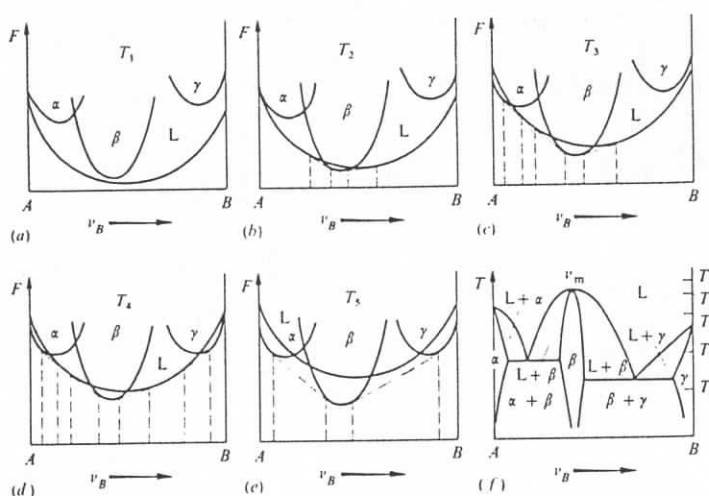


Fig. 5.18. Free energies and the phase diagram derived from them with the intermetallic compound  $\beta$ , which forms directly from the melt L.

# Peritectikusan kiegészített fázisférés:

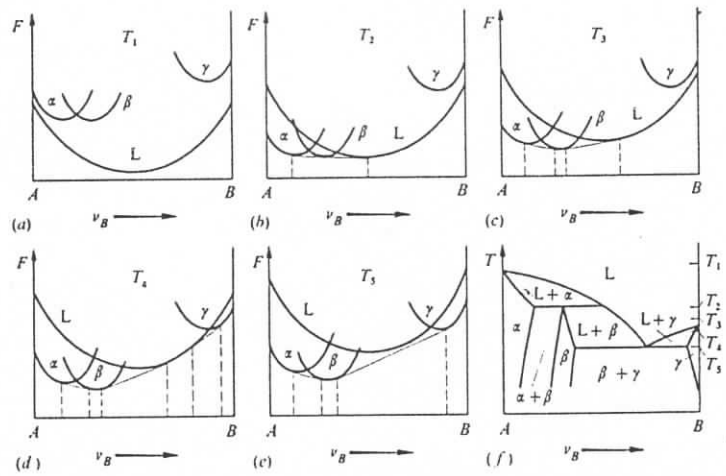


Fig. 5.19. Derivation of a phase diagram with an intermetallic compound  $\beta$  which forms peritectically.

Inkongruenzen alak  
a  $\beta$  fázis.

## Kétalkalatás rendszerek egyszerű diagramjainak néhány tulajdanya:

- 1.) Likvidus számkörök néma = foly. állapotból kristályosodó fázisok néma
  - 2.) Szolidus által erő területekre:  
homogén területet felülről fönbő,  
heterogén területet felülről vízminős. határol.  
( $f = 3 - p$  miatt.)
  - 3.) Az e.s.-i diagramban körülbelül minden, homogén területet csatoltanegyén követhetően folytatva.  
Külsől: vízminős. v. függelégek határ.
- Általánosítás: e.s.-i diagramban határon átlot  
keretezve a finisz néma eggyel növeg  
köhöz.

# Kémiai folyamatok és rendszerek fizikai mechanizmusa

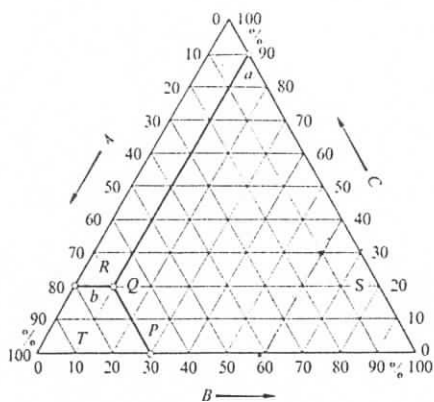


Fig. 5.20. Representation of the composition in a ternary system.

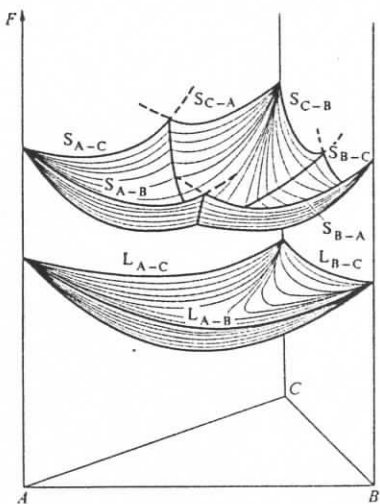


Fig. 5.21. Free energies of a liquid (L) and three solid (S) phases of a ternary system.

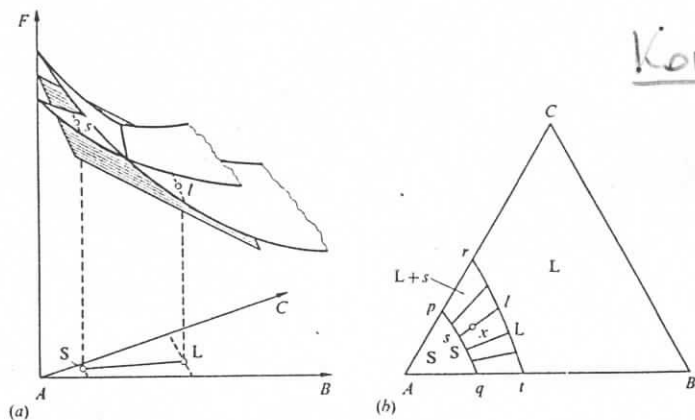


Fig. 5.22. A tangential plane construction to the free energy surfaces defines equilibrium between  $s$  and  $l$  in the ternary system (a). Isothermal section through a ternary phase diagram obtained in this way with a two-phase region ( $L+S$ ) and various conodes (b). The quantities of  $l$  and  $s$  at point  $x$  are determined by the lever rule.

Konodák (tie-line):  
mérlegnöből  
itt is igaz!

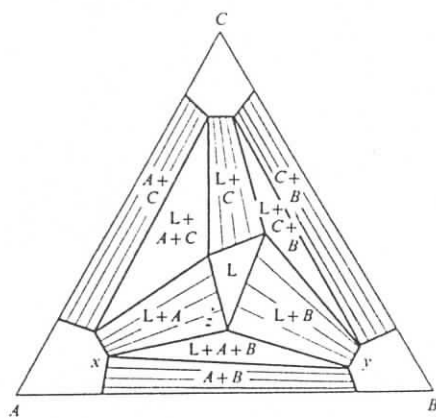


Fig. 5.23. Section through a ternary phase diagram at a temperature above the ternary eutectic temperature but below all the binary  $T_E$ .

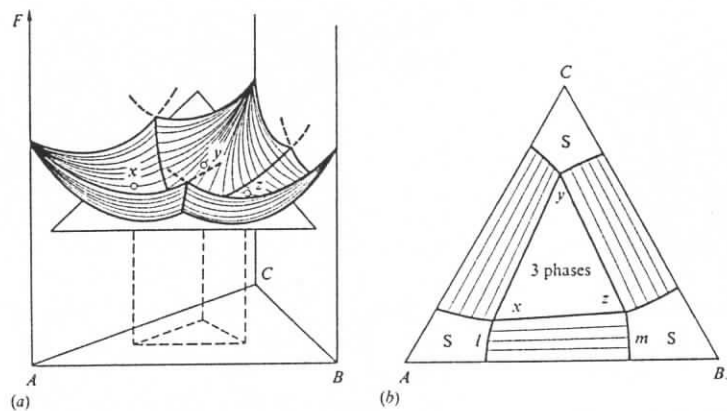


Fig. 5.24. A three-phase equilibrium in the ternary system derived by means of the tangential plane (a) and represented in an isothermal section (b). ( $l - m$ ) = conode.

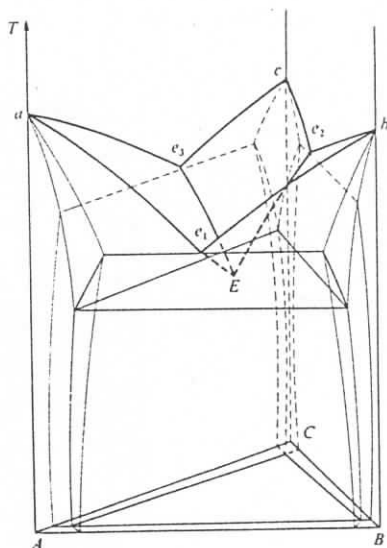


Fig. 5.25. Perspective drawing of a ternary phase diagram with ternary eutectic point  $E$ .

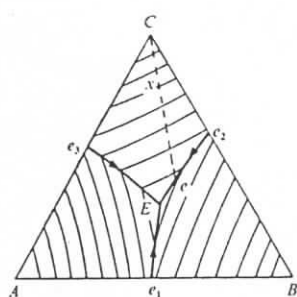


Fig. 5.26. Projection of the liquidus surface of the ternary diagram in fig. 5.25 on to the base.

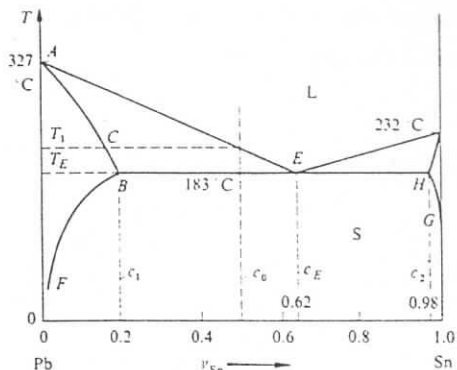


Fig. 4.13. Lead-tin phase diagram.

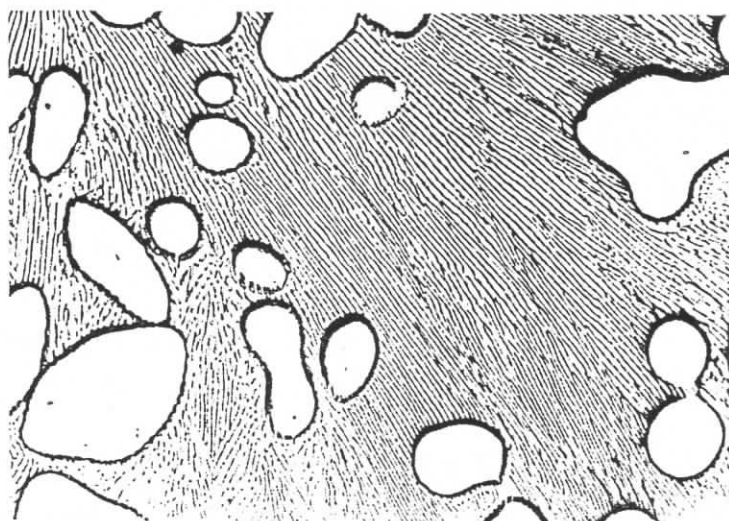


Fig. 4.14. Micrograph of Zn-8% Al showing primary Zn solid solution and eutectic. Cooled in the furnace. 145×.

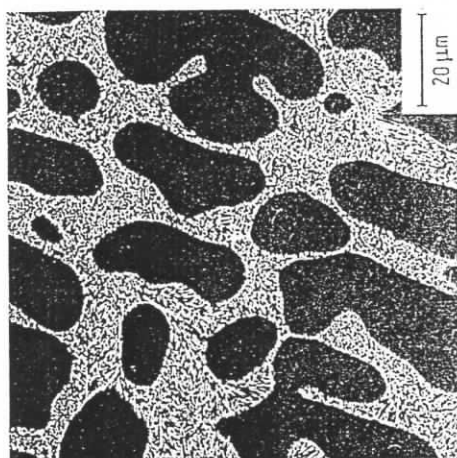


Abb. 4.7.

Abb. 4.6. Eutektisches Gefüge einer Al-11 Massen-% Si Legierung, REM

Abb. 4.7. Untereutektisches Gefüge: Primärkristallisation des  $\alpha$ -Al-Si-Mischkristalls Al-6 Massen-% Si, LM

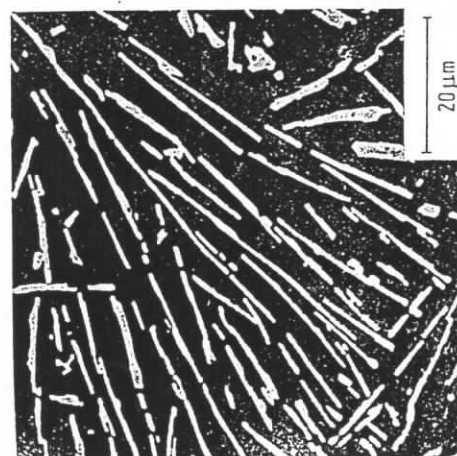


Abb. 4.6.

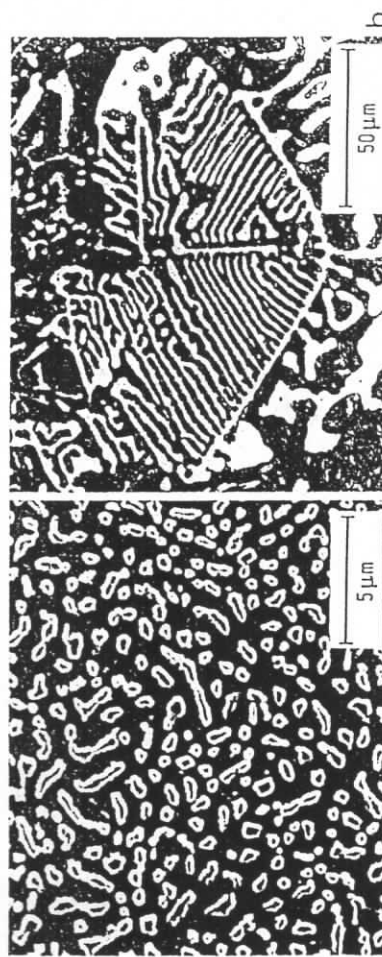


Abb. 12.11, a Eutektisches Gefüge in einer veredelten Al + 11 Gew.-% Si Legierung (vgl. Abb. 4.6); b Lamellares Eutektikum aus  $\alpha$ -Fe + WC in einer Hartlegierung

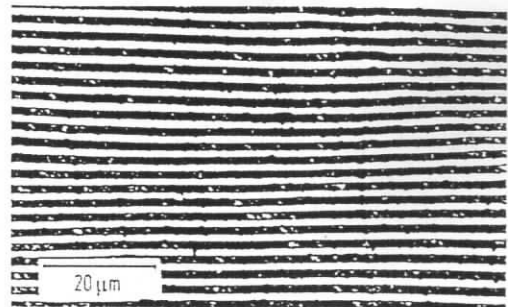


Bild 7.8. Gerichtet erstarrtes Eutektikum einer eutektischen Al—Cu-Legierung (hell: Al-Mischkristall, dunkel:  $\text{Al}_2\text{Cu}$ )



Bild 3.14. Perlit in Stahl mit 0,8 % C als Beispiel für ein eutektoides Gefüge